

O spin do elétron e o espectro do hidrogênio (Estrutura Fina)

- Do mesmo modo que na Mecânica Clássica, ^{L'onde} o momento angular está associado às principais características do movimento dos planetas sob a ação do campo gravitacional do Sol, o momento angular desempenha papel análogo na análise dos sistemas atômicos, onde elétrons se movem sob a ação do campo coulombiano dos núcleos.
- Reforçando a analogia, assim como um planeta possui momento angular orbital (em relação ao Sol) e momento angular próprio (em relação ao seu C.M.), o elétron em um átomo, além do momento angular orbital (\vec{L}), em relação ao núcleo, apresenta também momento angular intrínseco (\vec{s}), denominado spin.
- Diferentemente do momento orbital, que depende das interações do elétron, o spin é uma característica invariante de uma partícula.
- Uma vez que partículas eletricamente carregadas em movimento dão origem a campos eletromagnéticos, o momento angular (orbital e spin) dos sistemas atômicos é inversamente proporcional às suas propriedades magnéticas.

- Apesar do sucesso na determinação do espectro do hidrogênio, a solução da equação de Schrödinger considerando apenas a interação coulombiana elétron-núcleo não explica a chamada estrutura fina do espectro.
- Tanto o desdobramento das linhas do espectro na ausência de um campo magnético (estrutura fina), quanto o desdobramento observado das linhas sob a ação de um campo magnético (efeito Zeeman) decorrem da existência do spin.
- ^{Lxundo} Uhlenbeck e Goudsmit, em quanto o momento dipolar magnético orbital do elétron é dado por

$$\vec{\mu}_e = - \underbrace{\left(\frac{e}{2m} \right)}_{\text{de - razão gíromagnética}} \vec{L} = - \underbrace{\left(\frac{e\hbar}{2m} \right)}_{\mu_B \text{ - magneton de Bohr}} \vec{l}$$

$$\mu_B = \gamma_e \hbar$$

$$\left\{ \begin{array}{l} \gamma_e \sim 10^{11} \text{ T}^{-1} \text{s}^{-1} \\ \mu_B \sim 10^{-23} \text{ J/T} \end{array} \right.$$

o momento dipolar de spin é dado por

$$\vec{\mu}_s = - \left(\frac{e}{m} \right) \vec{S} = - \cancel{\frac{e}{m}} \vec{S} = - \mu_B \vec{S}$$

$$\vec{S} = \frac{\hbar}{2} \vec{\sigma} \rightarrow \text{matriz de Pauli}$$

- Os três números quânticos (n, l, m_e) determinam o espectro de energia e os autovalores associados ao momento angular.

$$\left\{ \begin{array}{l} H \Psi_{nle} = E_n \Psi_{nle} \quad E_n = -\frac{e^2}{2a_0} \frac{1}{n^2} \quad n = 1, 2, 3, \dots \text{ (princípal)} \\ L^2 \Psi_{nle}^{ml} = h^2 l(l+1) \Psi_{nle}^{ml} \quad l = 0, 1, 2, \dots (n-1) \text{ (secundário)} \\ L_z \Psi_{nle}^{ml} = \hbar m_e \Psi_{nle}^{ml} \quad m_e = 0, \pm 1, \pm 2, \dots \pm l \text{ (magnético)} \end{array} \right.$$

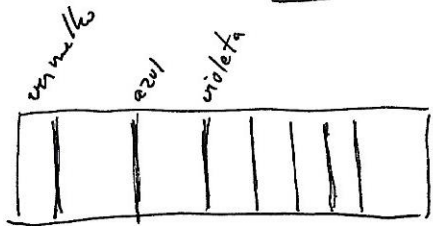
- De acordo com a equação de Schrödinger, para cada valor de n e l correspondem $(2l+1)$ autoestados distintos de mesma energia. Como para um dado n , os valores de l podem variar de 0 a $n-1$, o nº total de autoestados de mesma energia (para um dado n) é dado por

$$\sum_{l=0}^{n-1} (2l+1) = 2 \sum_{l=0}^{n-1} l + n = n(n-1) + n = n^2$$

$$S_n = \frac{(a_1 + a_n)^{n-1}}{2}$$

- Se se considerar o spin do elétron, existem mais dois possíveis estados para cada conjunto de nes quânticos n, l, m_e

Espectro do hidrogênio (s/ spin)



$$E_n = -\left(\frac{e^2}{2a_B}\right) \frac{1}{n^2} \quad (n=1, 2, \dots)$$

13,6 eV

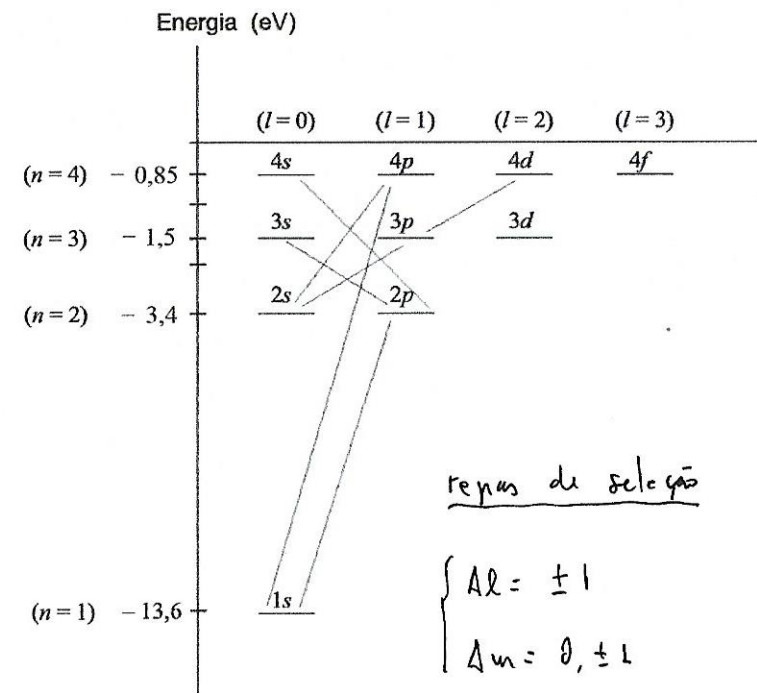
$$\nu_{he} = \frac{|E_n - E_l|}{h} \sim \left| \frac{1}{n^2} - \frac{1}{l^2} \right|$$

freqüências emitidas ou absorvidas

estados estacionários

notação espectroscópica	n	l	m	$\psi_{nlm}(r, \theta, \varphi)$	$E_n(-13.6\text{eV})/h^2$
1s	1	0	0	e^{-r/a_B}	1 (1 estado) (1^2)
2s	2	0	0	$\left(1 - \frac{1}{2} \frac{r}{a_B}\right) e^{-r/2a_B}$	1/4 (4 estados) (2^2)
2p	2	1	0	$r e^{-r/2a_B} \cos \theta$	
	2	1	± 1	$r e^{-r/2a_B} \sin \theta e^{\pm i\varphi}$	
3s	3	0	0	$\left[1 - \frac{2}{3} \frac{r}{a_B} - \frac{2}{27} \left(\frac{r}{a_B}\right)^2\right] e^{-r/3a_B}$	1/9 (9 estados) (3^2)
3p	3	1	0	$\left(1 - \frac{1}{6} \frac{r}{a_B}\right) r e^{-r/3a_B} \cos \theta$	
	3	1	± 1	$\left(1 - \frac{1}{6} \frac{r}{a_B}\right) r e^{-r/3a_B} \sin \theta e^{\pm i\varphi}$	
3d	3	2	0	$r^2 e^{-r/3a_B} (3 \cos^2 \theta - 1)$	
	3	2	± 1	$r^2 e^{-r/3a_B} \sin \theta \cos \theta e^{\pm i\varphi}$	
	3	2	± 2	$r^2 e^{-r/3a_B} \sin^2 \theta e^{\pm i2\varphi}$	

Transições e regras de seleção



permitidas

$$\left\{ \begin{array}{l} 4p \rightarrow 2s \quad 4s \rightarrow 2p \\ 4p \rightarrow 1s \quad 4d \rightarrow 3p \\ 3p \rightarrow 2s \end{array} \right.$$

proibidas

$$\left\{ \begin{array}{l} 4d \rightarrow 2s \quad 4s \rightarrow 2s \\ 3d \rightarrow 1s \quad 3s \rightarrow 1s \\ 4p \rightarrow 3p \end{array} \right.$$

- Para se identificarem completamente um ^{lento} estado particular do átomo de hidrogênio, deve-se indicar também o nº quântico m_s (associado à projeção do spin em uma direção, usualmente z), o qual é igual a $\frac{1}{2}$ ou $-\frac{1}{2}$.
- Assim, ^{momento} _{momento} ^{de massa} dos estados do elétron no átomo de hidrogênio é caracterizado por quatro nºs quânticos.

$$(n, l, m_e, m_s)$$

Notação espetroscópica

- De acordo com a notação espetroscópica, os ^{lento} estados de momentum angular orbital são ordenados e denotados como
- nomenclatura original da classificação espetroscópica:
sharp (s), principal (p), diffuse (d), fundamental (f)
- estado associado ao par $n=l, l=0$ é representado por 1s
- $n=3, l=2 \Rightarrow 3d$

l	0	1	2	3	4	5	6
	s	p	d	f	g	h	i

- ao se considerar o momentum angular total ($\vec{T}=\vec{l}+\vec{s}$), acrescenta-se um subíndice $j=l \pm \frac{1}{2}$, tal que

$$\begin{cases} n=3, l=1, j=\frac{3}{2} \Rightarrow 3P_{\frac{3}{2}} \\ n=3, l=1, j=\frac{1}{2} \Rightarrow 3P_{\frac{1}{2}} \end{cases}$$

Estrutura fina do espectro

- a. A modificação dos espectros de energia dos átomos de hidrogênio (estrutura fina) deve-se à interação entre os momentos dipolares orbital (μ_o) e de spin (μ_s).

$$\left\{ \begin{array}{l} \vec{\mu}_e = +g_e \vec{L} (\text{magnetônico quando o elétroto}) \\ \vec{\mu}_s = -2g_e \vec{S} \end{array} \right. \Rightarrow V_{es} = +\frac{\vec{\mu}_s \cdot \vec{\mu}_e}{r^3} = +2g_e \frac{\vec{L} \cdot \vec{S}}{r^3} \quad \left(\frac{1}{2} \text{ - precessão de Larmor - ref. não inercial} \right)$$

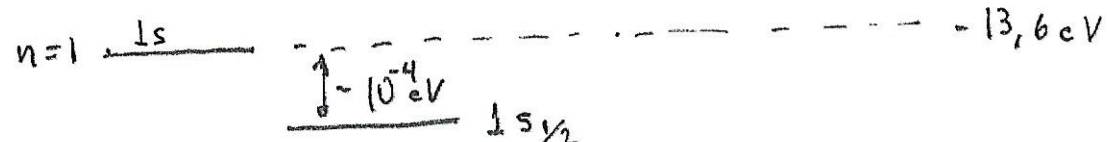
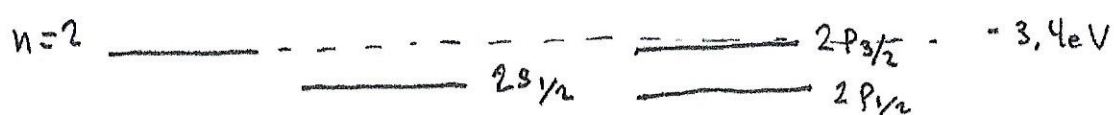
- A conexão devido à chamada interação spin-orbita pode ser estimada como

$$V_{es} \sim \frac{e^2 h^2}{a_B^3} = -\frac{\mu_B^2}{a_B^2} \approx \frac{10^{-40}}{10^{-24}} = -10^{16} \text{ erg} = -10^{-23} \text{ J} \sim 10^{-4} \text{ eV}$$

p/ o é tanto fundamental ($E_1 \sim -10 \text{ eV}$) ,

$$\left| \frac{V_{es}}{E_1} \right| \ll 1 (10^{-5})$$

- Efeitos relativísticos (da mesma ordem de grandezas) também contribuem p/ o aspecto da energia do elétron.
 - A coragem relativística deve ser calculada a partir da equação de Dirac (eq. relativística que descreve o comportamento do elétron). No entanto, por métodos perturbativos pode-se estimar a coragem a partir de eq. de Schrödinger (fórmula de Sommerfeld).



| | | | (sem spin)

$\left[\begin{array}{cccc} ||| & || & | & | \end{array} \right] \text{ (com spin)}$

Estutura fina

• Correção relativística

$$E = \sqrt{(pc)^2 + (mc^2)^2} = mc^2 \left[1 + \left(\frac{p}{mc} \right)^2 \right]^{\frac{1}{2}}$$

$$\approx mc^2 + \frac{p^2}{2m} - \frac{1}{8} \left(\frac{p}{mc} \right)^4 mc^2$$

$$\begin{cases} p = \frac{\hbar}{a_B} \\ a_B = \frac{\hbar^2}{me^2} \end{cases} \Rightarrow p = \frac{me^2}{\hbar} \Rightarrow \left(\frac{p}{mc} \right)^4 = \left(\frac{e^2}{\hbar c} \right)^4 = \alpha^4 \quad (\alpha = \frac{1}{137})$$

α (constante da estrutura fina)

(energia cinética) $T = \frac{p^2}{2m} - \frac{1}{8} \alpha^4 (mc^2)$ correção relativística $T_{\text{rel.}} = \frac{1}{8} \alpha^4 (mc^2)$

$$f(x) = (1+x)^{\frac{1}{n}} \Rightarrow f(0) = 1$$

$$f'(x) = \frac{1}{2}(1+x)^{-\frac{1}{n}} \Rightarrow f'(0) = \frac{1}{2}$$

$$f''(x) = -\frac{1}{4}(1+x)^{-\frac{3}{n}} \Rightarrow f''(0) = -\frac{1}{4}$$

$$f(x) = 1 + \frac{1}{2}x - \frac{1}{8}x^2$$

$$a_B = \frac{\hbar^2}{me^2}$$

• Comparação entre as correções spin-orbita e relativística

$$V_{es} = \frac{M_B^2}{a_B^3} = \frac{e^2}{a_B} \frac{\hbar^2}{4m^2c^2} \frac{1}{a_B^2} = \frac{e^2}{(2a_B)} \frac{\hbar^2}{2m^2c^2} \frac{m^2e^4}{\hbar^4c^2} = \frac{1}{2} \left(\frac{e^2}{\hbar c} \right)^2 \left(\frac{e^2}{2a_B} \right)^2$$

$$V_{es} \sim \frac{1}{2} \alpha^2 R_y$$

$$\Rightarrow V_{es} \sim \frac{1}{4} \alpha^4 (mc^2)$$

$$R_y = \frac{1}{2} \alpha^2 (mc^2)$$

R_y (energia de Rydberg)

$$R_y = \frac{e^2}{(2\hbar^2/me^2)} = \frac{e^4}{2} \frac{m}{\hbar^2} \left(\frac{c^2}{c^2} \right)$$

$$R_y = \frac{1}{2} \left(\frac{e^2}{\hbar c} \right)^2 mc^2 = \frac{1}{2} \alpha^2 mc^2$$